



OBECNÁ MYKOLOGIE

(místy se zvláštním zřetelem k makromycetům)

Vymezení pojmu „houby“ a „mykologie“ • Historický výskyt a teorie o původu hub

- Stavba houbové buňky (cytoplazma, organely, jádro a bun. cyklus, bun. stěna)
- Výživa a obsahové látky hub • Vegetativní stélka hub (nemyceliální houby, hyfy, hyfové útvary, pletivné útvary, stélka lišejníků, růst houbové stélky)
- Rozmnožování hub (vegetativní, nepohlavní, pohlavní) • Genetika hub
- Plodnice hub (sporokarpy, askokarpy, bazidiokarpy, anatomie plodnic, hymenofor, hymeniální elementy) • **Spory hub (typy a stavba, šíření a klíčení)**
 - Nomenklatura hub • Sběr, určování a konzervace hub



SPORY HUB

Jako **spory** (česky **výtrusy**) jsou označovány buňky sloužící k reprodukci (případně též k přežívání určitého období), z nichž může po vyklíčení vzniknout nový jedinec (na rozdíl od semen vyšších rostlin nejsou tvořeny specializovanými strukturami a jsou jednobuněčné – sporou může být nazvána každá buňka, odpovídající uvedené charakteristice); charakteristickými znaky těchto buněk (ve srovnání s vegetativními) bývá silnější stěna, hustší cytoplazma a pomalejší metabolismus.

Podle způsobu vzniku lze rozlišit dva základní typy – **mitospory** (zoospory, sporangiospory, konidie, viz kapitolu [rozmnožování hub](#)) a **meiospory** (zygo-, asko-, bazidiospory).

Rozměry spor jsou mikroskopické, v rozsahu zhruba od 2 do 200 mikrometrů. Tvar a ornamentika výtrusů a barva stěny (určující pak barvu výtrusného prachu) jsou druhově stálými znaky, sloužícími jako dobrá pomůcka pro určování.

V přírodě hrají spory hub úlohu při šíření druhu a obsazování nových stanovišť => přínosem může být genetická výměna s jinými jedinci tam rostoucími, případně velký "nálet" spor může být základem k prosazení v kompetičním "boji" s jinými organismy.

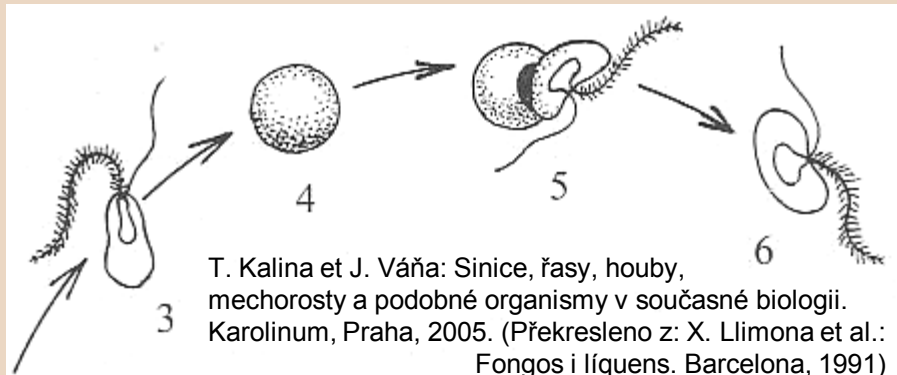
TYPY A STAVBA SPOR

Jednoduché organismy se rozmnožují a šíří nejčastěji nepohlavně vznikajícími zoosporami:

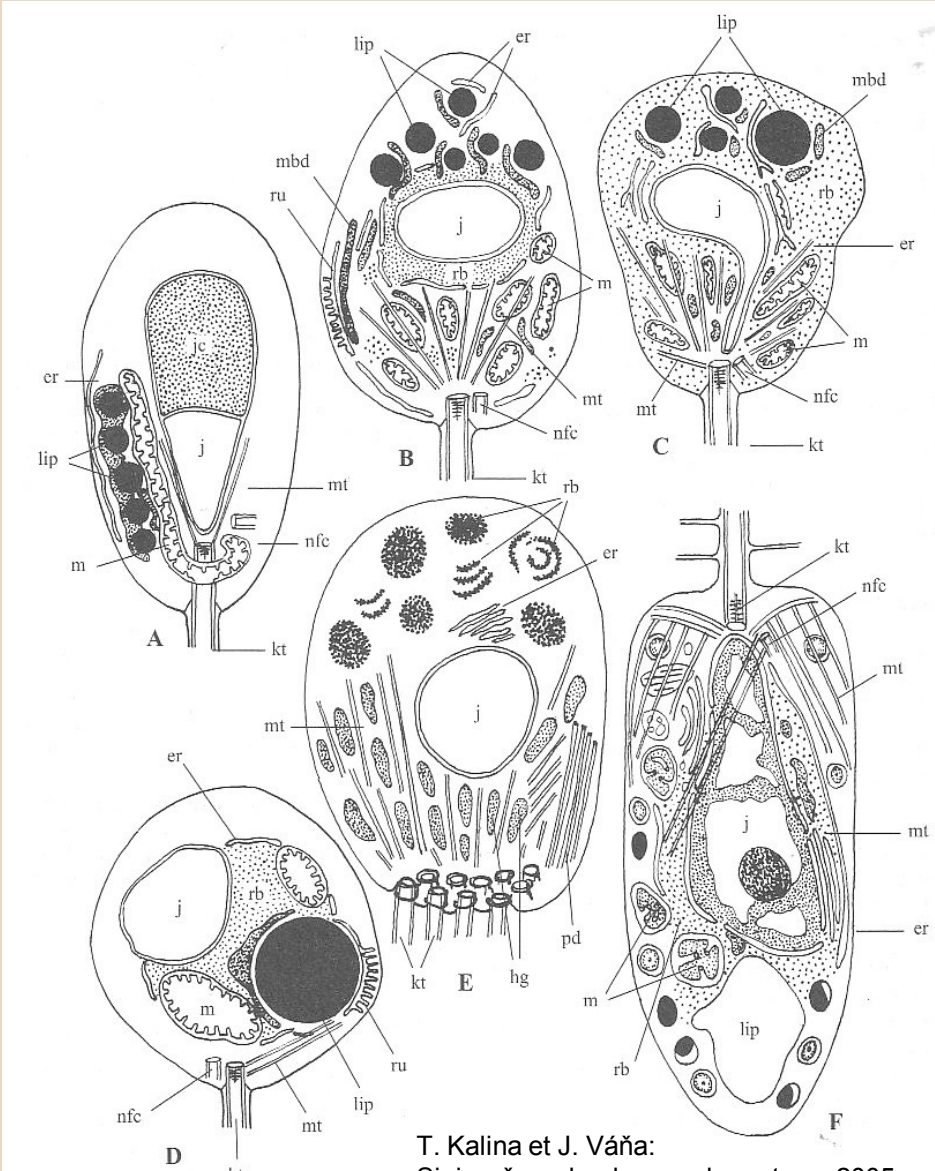
- *Oomycota* vytvářejí akrokontní (s bičíky na přední straně buňky) primární zoospory, ty se encystují a z cyst následně vydají sekundární zoospory, které jsou pleurokontní (s bičíky vycházejícími na boku);

vzhledem k příbuznosti s heterokontními řasami mají i *Oomycota* dva různé bičíky, delší péřitý (se dvěma řadami tubulárních mastigonem) a kratší hladký (obdobný pár bičíků mají zoospory labyrinth). Tato dvě bičíkatá stadia v životním cyklu mají druhy diplanetické (běžné mezi *Saprolegniales*), redukce primárních zoospor vede k monoplanetismu a nakonec u suchozemských aplanetických druhů žádné zoospory nevydají a sporangia klíčí přímo hyfou; šíření *Peronosporales* zajišťují odlomená sporangia, typicky monosporická – vzhledem k podobě a klíčení hyfou označovaná mylně za konidie (pravá konidie však má jednu buněčnou stěnu, zatímco zde jsou dvě: vnější vrstva patří sporangi, vnitřní pak obsažené spoře).

- Dva různé bičíky mají i zoospory nádorovek (*Plasmodiophoromycota*).



- Naproti tomu na zoosporách odd. *Chytridiomycota* (v širším, již opuštěném pojetí *Chytridiomycota* sensu lato, tedy včetně *Blastocladiales* a *Neocallimastigales*, hodnocených dnes na úrovni samostatných oddělení) lze demonstrovat příbuznost hub a živočichů – právě u těchto organismů se totiž tvoří pohyblivá stadia s jedním opistokontním (na zadní straně buňky umístěným) neboli tlačným bičíkem (výjimkou jsou *Neocallimastigales* s více bičíky). V poslední době bylo uznáváno pět řádů a u každého lze najít specifickou ultrastrukturu zoospor; u řádu *Chytridiales* a *Monoblepharidales* byl na zoosporách pozorován tzv. rumposom, propojený mikrotubuly s kinetosomem a považovaný za fotoreceptor.



T. Kalina et J. Váňa:
Sinice, řasy, houby, mechrosty ..., 2005.

Obr. 119. Ultrastrukturální diagnostické znaky zoospor u jednotlivých řádů oddělení Chytridiomycota (Fungi, A–E) a u oddělení Hyphochytriomycota (Chromista, F). A – *Catenaria* (Blastocladiales), B – *Monoblepharella* (Monoblepharidales), C – *Spizellomyces* (Spizellomycetales), D – *Rhizophydium* (Chytridiales), E – *Neocallimastigales* (Neocallimastigales), F – *Rhizidiomyces* (Hyphochytridiomycota). er – endoplazmatické retikulum, hg – hydrogenozomy, j – jádro, jc – čepička jádra (ribozomy), kt – kinetozom, lip – tukové kapky, m – mitochondrie, mbd – „microbody“, mt – mikrotubuly, nfc – nefunkční centriola, pd – „posteriorní dóm“, rb – ribozomy, ru – rumpozom. (Podle MARGULISOVÉ et al., 1991, a MC LAUGHLINA et al., 2000, překresleno.)

Pohlavně vzniklé silnostěnné útvary (**cysty** nádorovek, **oospory** u oddělení *Oomycota*, **trvalá sporangia** chytridií) slouží hlavně k přečkání určitého období v prostředí (v našich podmínkách obvykle prezimování) před vyklíčením hyfy nebo vyrejděním zoospor.

Hlenky vytvářejí silnostěnné spory, které se pasivně uvolňují ze sporokarpů a následně z nich vyjdou myxomonády.

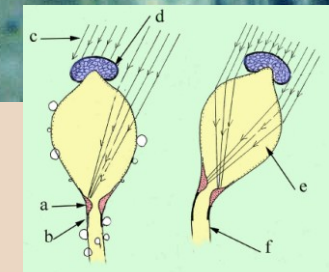
Zygosporы spájivých hub (principiálně se jedná o zygosporangium obsahující jednu zygosporu, ale běžně jsou tyto pojmy slučovány) se uvolňují pasivně a jejich velikost a silná stěna je předurčuje k přežití delšího období, ne však k šíření na velké vzdálenosti.

<http://www.uoguelph.ca/~gbarron/MISCELLANEOUS/pilobolu.htm>

K aktivnímu uvolňování a šíření může dojít v případě nepohlavních spor vznikajících ve sporangiích.

Příkladem je ***Pilobolus*** (česky měchomršt'), jenž má pod sporangiem ztlustlinu (subsporangiální vak), působící jako čočka, která soustřeďuje světlo => natočení sporangia za světlem; při dostatku vody (srážející se kapky, typicky rosa v přirozeném prostředí houby) ve ztlustině vzrůstá turgor, až nakonec dojde k odtržení a **odmrštění** celého sporangia

(vlastní odmrštění asi přímo nezávisí na světle – právě tato houba v případě "zatemnění" uplatní své "biologické hodiny", viz dále).



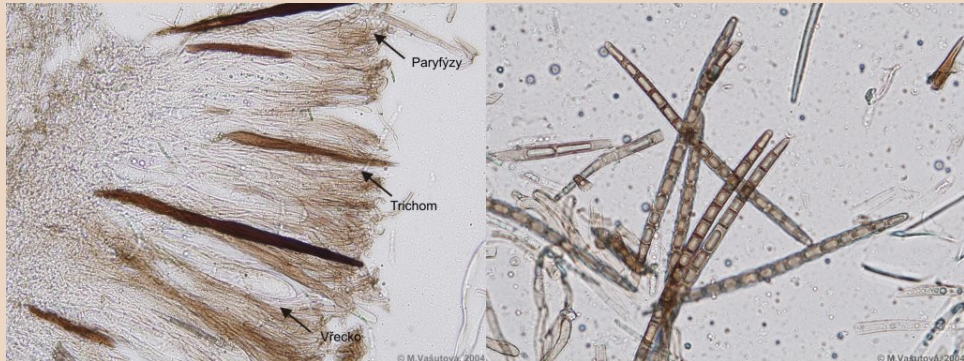
Askospory vřeckatých hub (poznámka: ve striktním pojetí by se neměly označovat jako meiospory, protože při typickém počtu 8 jejich vytvoření přímo předchází "dodatečná" mitóza a nevznikají tedy přímo meioticky – nicméně běžně se o nich mluví jako o meiosporách) se tvoří ve vřeckách, z nichž vycházejí ven různými způsoby:

- pasivní uvolňování u primitivních skupin – rozpad stěn prototunikátních vřecek;
- naproti tomu u odvozenějších typů je uvolňování aktivní (vřecka unitunikátní a bitunikátní): s dozráváním stoupá turgor cytoplazmy uvnitř vřecka => na vrcholu praská stěna nebo se odtrhne víčko, stěna vřecka se smrští => spory jsou vytlačeny ven; protože spory vřeckatých hub při svém uvolnění směrem nahoru musejí překonávat odpor vzduchu i gravitaci, je potřeba značné síly na jejich vystřelení (také mají značný "dostřel" – v extrému až 3 metry) a jsou obvykle větší a těžší než spory hub stopkovýtrusných.

Podzemní plodnice (např. *Tuberaceae*) vydávají intenzivní vůni, jež láká živočichy, kteří pak mechanicky rozruší pevný obal plodnice (tu obvykle sežerou a spory šíří ve svých útrobách, viz dále u endozoochorie).

Půdní houby jako např. *Fusarium* nebo *Trichoderma* jsou příkladem hub tvořících slizké spory (resp. konidie), které pak na sebe mohou nalepit různé organismy.

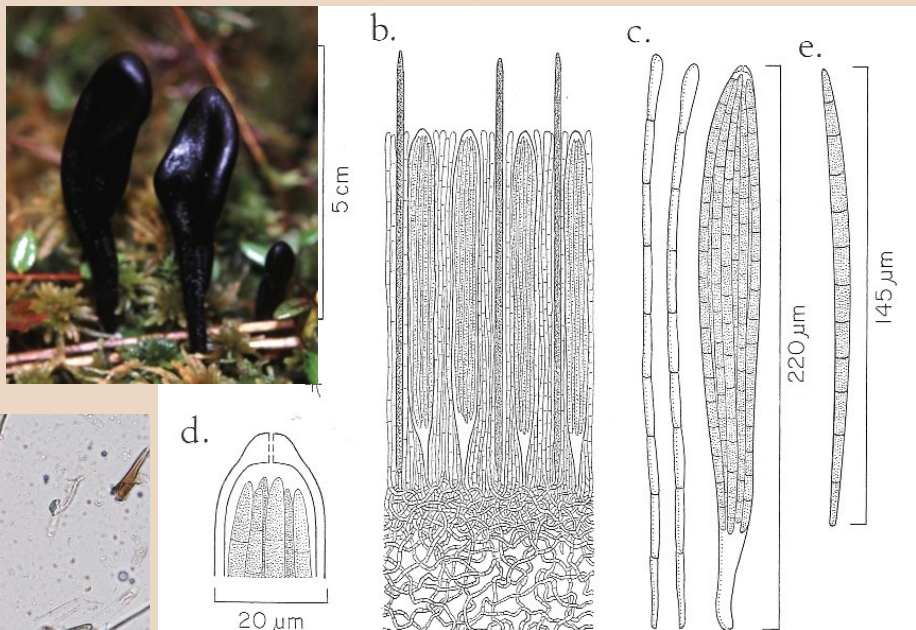
Spory jsou běžně jednobuněčné, není však vzácností tvorba mnohobuněčných spor – např. u jazourků (čeled' Geoglossaceae) se tvoří mnohobuněčné jehlicovité spory až 200 µm dlouhé (každá buňka může vyklíčit vlastní hyfou).



<http://botany.upol.cz/atlasystem/gallery.php?entry=Trichoglossum%20hirsutum>

U některých hub dochází k přerůstání zralých vřecek nad úroveň thecia (= hymenia, u plodnic typu apothecium) nebo k prorůstání vřecek ven z ostiola (v případě perithecií).

/Konidie a artrospory (nepohlavní spory vřeckatých a vzácněji i stopkovýtrusných hub) a jejich vznik byly popsány v textu o nepohlavním a vegetativním rozmnožování./



Trichoglossum hirsutum. a. Ascomata on soil. b. Section through portion of hymenium with setae, asci, paraphyses, and excipulum. c. Paraphyses, and ascus with ascospores. d. Thickened ascus apex. e. Mature ascospore.

Richard T. Hanlin:
Illustrated Genera of Ascomycetes, vol. 2.
APS Press, St. Paul, 1997.

Bazidiospory stopkovýtrusných hub

(ani zde to není s termínem meiospory jednoznačné, protože buňkami vzniklými přímo meiozou vlastně nejsou spory, ale haplocyty) jsou typicky jednobuněčné a základní tvar je eliptický, obvykle drobně prohloubený (supra-apikulární deprese) nad **apikulem** ("stopečka" v místě, kde spora vyrůstá ze sterigmu), kde po odlomení zůstává "jizva" - hilum (mnohdy je jako hilum označován apikulus).

Rozměry jsou drobné (řádově několik mikrometrů), vzhledem k vypadávání z hymenoforu nebo vyfoukávání z teřichu nepotřebují být "dělové koule" jako u vřeckatých hub a naopak je výhodou být malé a lehké pro snadný přenos.

Clémenton: Cytology and Plectology of the Hymenomycetes, 2004.

Foto Merton F. Brown et Harold G. Brotzman,

<http://www.apsnet.org/online/Archive/1998/sem088.htm>

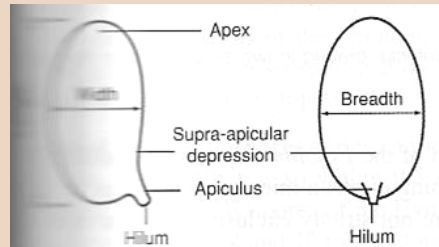


Figure 5.36: Basic geometry of the heterotrophic basidiospore of the Hymenomycetes. The hilum is the scar at the lower side at the end of the apiculus left by the separation of the spore from the sterigma. – From Clémenton 1997.

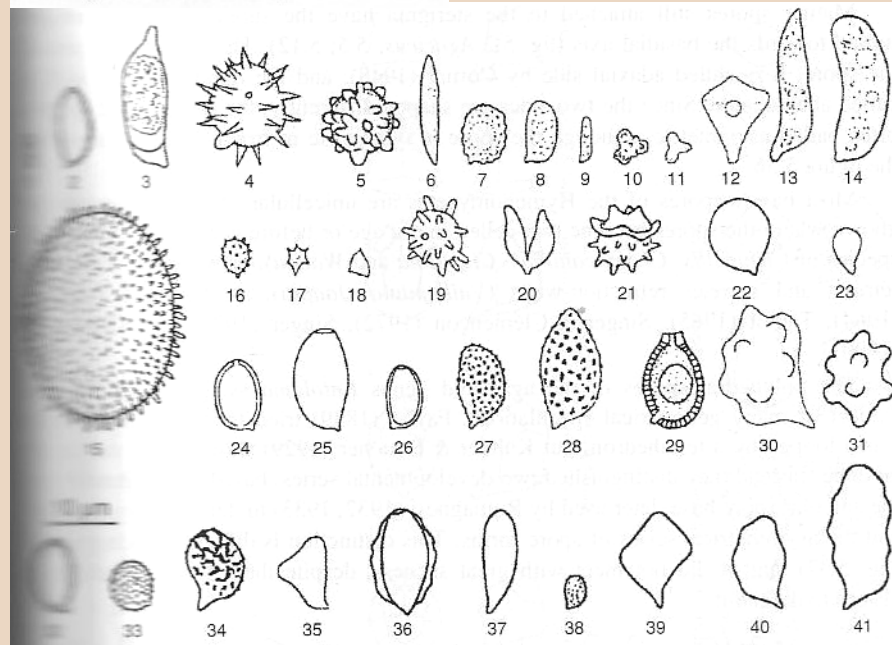
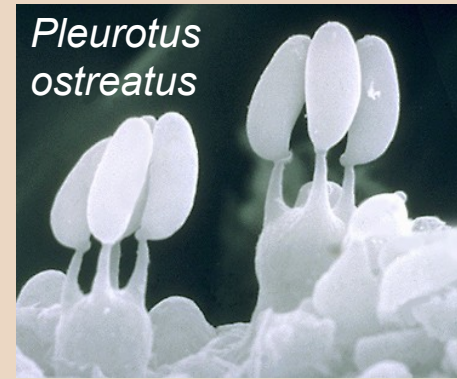
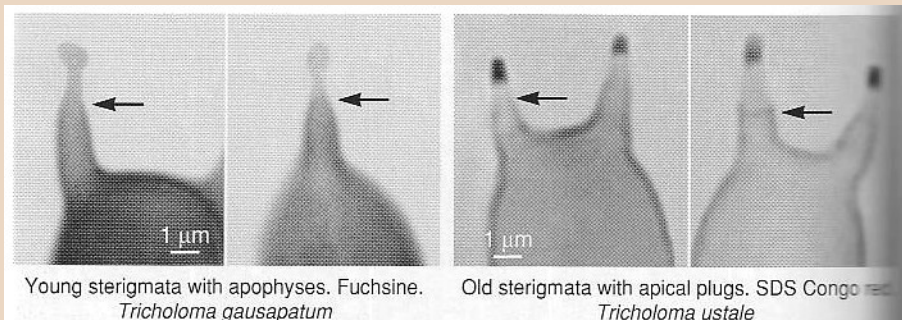


Figure 5.35c: A small sample of basidiospores to illustrate their morphological diversity.

1: *Ischnoderma subincarnata*; 2: *Coniophora olivacea*; 3: *Jaapia argillacea*; 4: *Tomentella alutaceo-umbrinum*; 5: *Tomentella mucidula*; 6: *Subulicystidium longisporum*; 7: *Hypochnicium analogum*; 8: *Hyphoderma* sp.; 9: *Lepidomyces subcalceus*; 10: *Tylospora fibrillosa*; 11: *Tylospora asterophora*; 12: *Xenosperma* sp.; 13: *Tubulicium vermiciferum*; 14: *Vullemnia comedens*; 15: *Aleuridiscus amorphus*; 16: *Trechispora* sp.; 17: *Techispora farinacea*; 18: *Trechispora subsphaerospora*; 19: *Botryohypothecus isabellinus*; 20: *Galzinia* sp.; 21: *Lindneria trachyspora*; 22: *Clavulina cinerea*; 23: *Clitocybe gibba*; 24: *Macropleiota puellaris*; 25: *Pholiota prona*; 26: *Pholiota alnicola*; 27: *Gymnopilus laricicola*; 28: *Cortinarius affinis*; 29: *Ganoderma* sp.; 30: *Inocybe pseudoasterospora*; 31: *Inocybe nippes*; 32: *Inocybe olivacea-brunnea*; 33: *Leucopaxillus* sp.; 34: *Russula consobrina*; 35: *Lyophyllum transforme*; 36: *Coprinus cinnereofloccosus*; 37: *Hemimycena* sp.; 38: *Lepista densifolia*; 39: *Entoloma rhombisporum*; 40: *Entoloma sericellum*; 41: *Entoloma* sp.; 13-19 from Christiansen 1960; 12 from Hjortstam & al. 1988; 20 from Jülich 1984b; 21 from Jülich 1994; 22-28, 30-34, 37-41 from Favre 1948, 1955, 1960; 29 from Gilbertson & Ryvarden 1986; 35 from Johnson 1986; 36 from Orton & Watling 1979.

Nejpůvodnější(?) způsob uvolňování je repetitivní "pučení spor" u "stopkovýtrusných kvasinek" (*Sporobolomyces*), kde se vytvoří sterigma => spora a po jejím odlomení se může vytvořit z téže buňky zas další sterigma => spora ...



Young sterigmata with apophyses. Fuchsin. *Tricholoma gausapatum*
Old sterigmata with apical plugs. SDS Congo red. *Tricholoma ustale*

Figure 5.13: The rupture of the outer basidial wall by the sterigma (arrows) can sometimes be observed with the light microscope. Note the asymmetrical shape of the young apophysis and the intensely staining sterigmatal plug in the old basidium that has shed its spores. – *Tricholoma gausapatum* from Clémençon 1997, background cleaned electronically; *Tricholoma ustale* original photographs.

Heinz Clémençon: Cytology and Plectology of the Hymenomycetes. Bibliotheca Mycologica, vol. 199. J. Cramer, Berlin-Stuttgart, 2004.

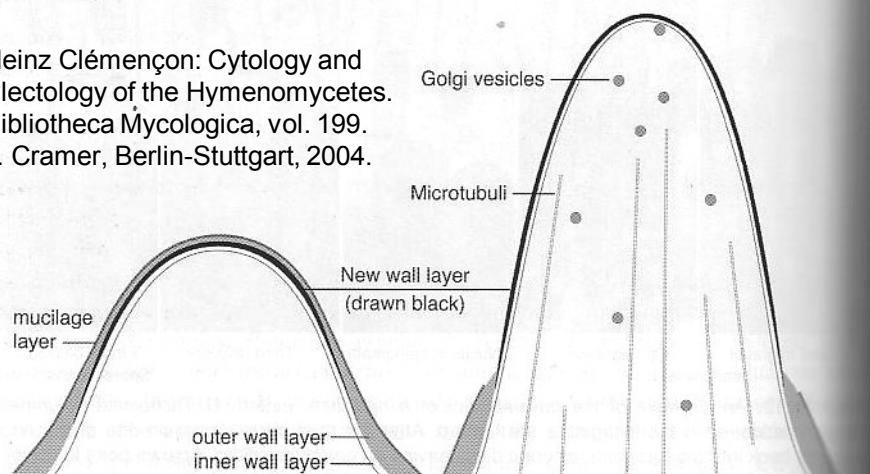


Figure 5.14: Diagram of the wall structure of the sterigma. Within the wall of the dome shaped sterigma initial (left) a new wall layer appears. Then the mucilage layer and the outer wall layer are ruptured. Microtubuli guide the Golgi vesicles charged with wall material to the apical growth region of the sterigma. The wall of the tip of the sterigma and of the apophysis is different from the wall of the basidium. – Composite drawing after the indications given by McLaughlin 1973 and 1982; from Clémençon 1997, slightly modified.

Tvorbě spor u typických zástupců oddělení *Basidiomycota* předchází meiotické dělení a formování **sterigmat**, do kterých vstupují vzniklá haploidní jádra => na vrcholcích sterigmat se vytváří apofýzy (protržení stěny bazidie => na povrchu apofýzy se vytváří nová stěna, odlišná od stěn hyf a bazidií), asymetricky narůstají (na vrcholcích sterigmat, ale do strany) a po vstupu jader se z nich formují spory.

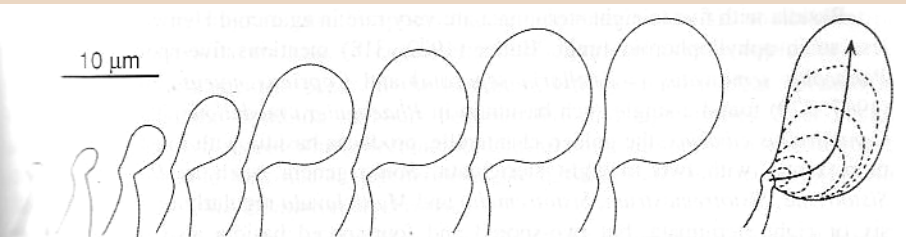


Figure 5.15: Asymmetric growth of the apophysis. The initial spherical stage is placed symmetrically on the tip of the sterigma. Subsequent growth is restricted to the abaxial side, away from the axis of the basidium located at the left of the drawing. At first, growth is directed at the upper right, then almost straight up. – Drawn after the indications given by Miller 1988 for *Lactarius lignotellus*, from Clémençon 1997.

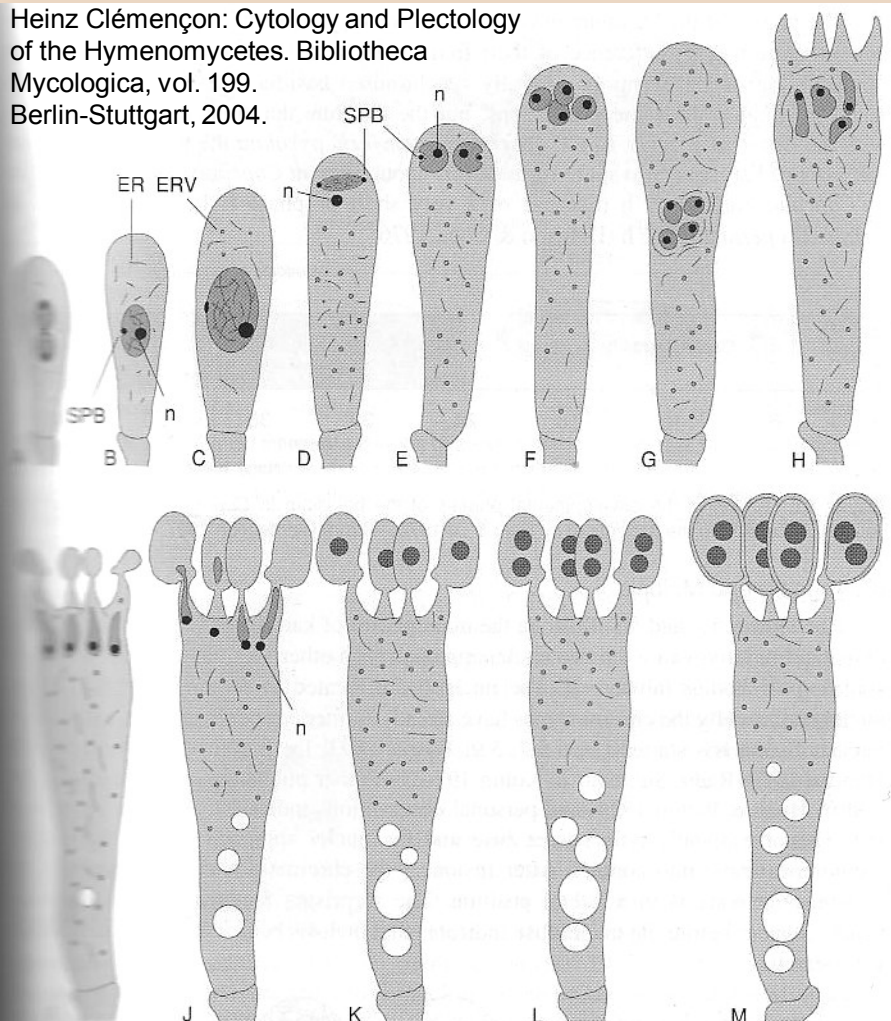
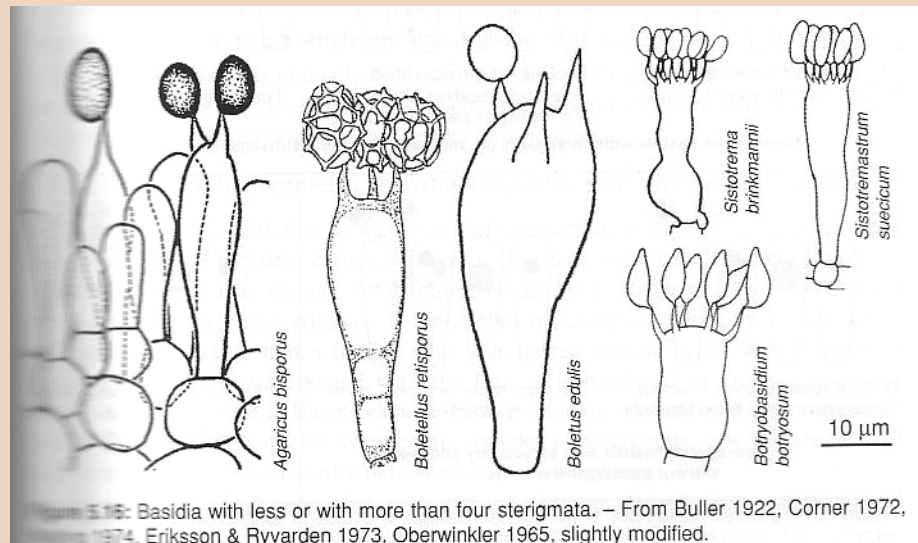


Fig. 5.5: Basic pattern of the spore formation by a basidium of an agaric. **A:** Young basidium with haploid nuclei. Chromosomes already present. **B:** Karyogamy. **C:** Diploid nucleus in the course of the first division. **D:** Division I, nucleolus excluded. **E:** Interkinesis I. **F:** Meiosis. **G:** Nuclear migration. Perinuclear ER present. **H-K:** Sterigmata and apophyses bud from the basidium and the nuclei enter the young spores. Nucleoli are excluded at the base of the sterigmata. **L:** Third nuclear division, a mitosis. **M:** Formation of a spore wall.

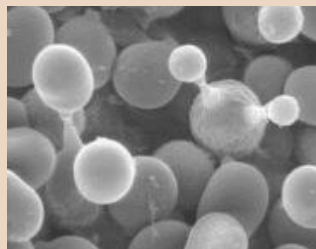
ER = Endoplasmatic reticulum. ERV = Vesicles formed by the ER. SPB = spindle pole body, shown as a small dot in A-J. — From Clémençon 1997, modified.

Zároveň u báze bazidie narůstají vakuoly (nebo jedna velká vakuola), která vtlačí cytoplazmu skrz sterigmata do tvořících se spor; ty se tvoří typicky v počtu čtyř na jedné bazidii, ale u různých druhů se mohou tvořit různé počty od 2 do 8.

U většiny druhů totiž dochází po meioze ještě k mitóze ("třetí jaderné dělení"), ale obvykle čtyři ze vzniklých jader zůstanou v bazidii a abortují.



Ke vzniku bisporické bazidie může dojít několika cestami: některá jádra zůstanou v bazidii a abortují nebo se vytvoří čtyři jádra, ale jen dvě sterigmata => vzniknou dvojjaderné spory, které mohou být i heterokaryotické (případ sekundárního homothalismu jako u *Agaricus bisporus*,



viz obr. vlevo), nebo nedochází ke karyogamii a meioze, ale jen k mitóze.

<http://www.biolog.pl/content-58.html>

Poznámka: jen vzácně vznikají spory stopkovýtrusných hub partenogeneticky, tedy jen v haploidním cyklu bez plazmogamie, karyogamie a meiozy – jak patrně výše, vznik bisporických bazidií zdaleka nemusí být důsledkem partenogeneze.

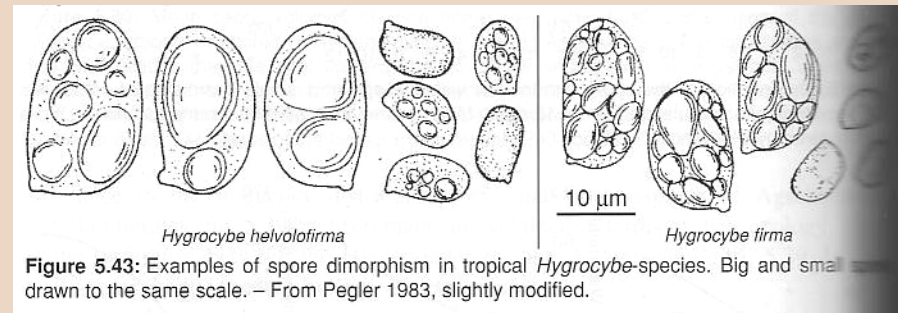


Figure 5.43: Examples of spore dimorphism in tropical *Hygrocybe*-species. Big and small drawn to the same scale. – From Pegler 1983, slightly modified.

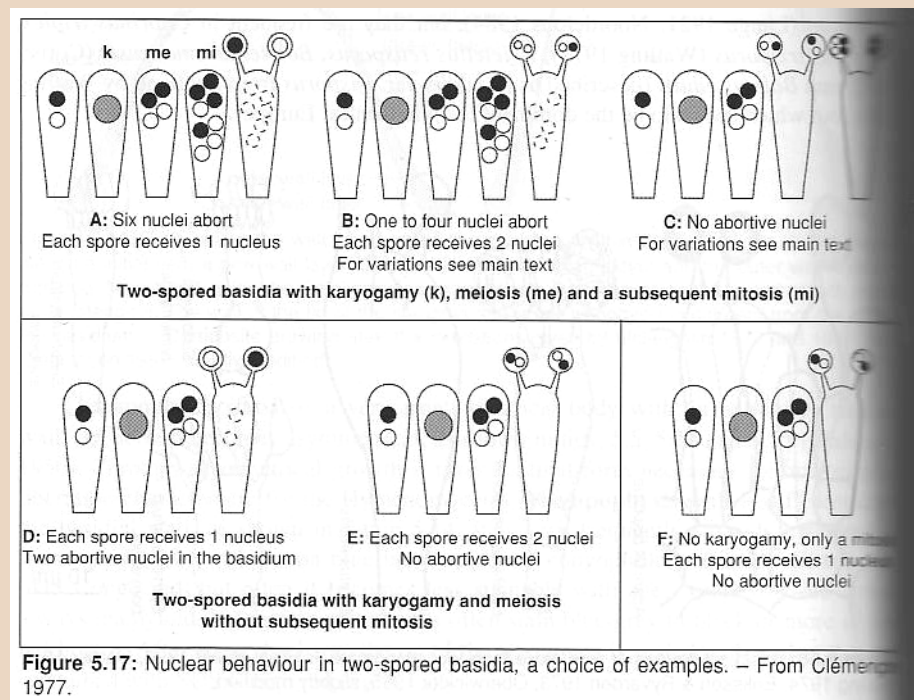
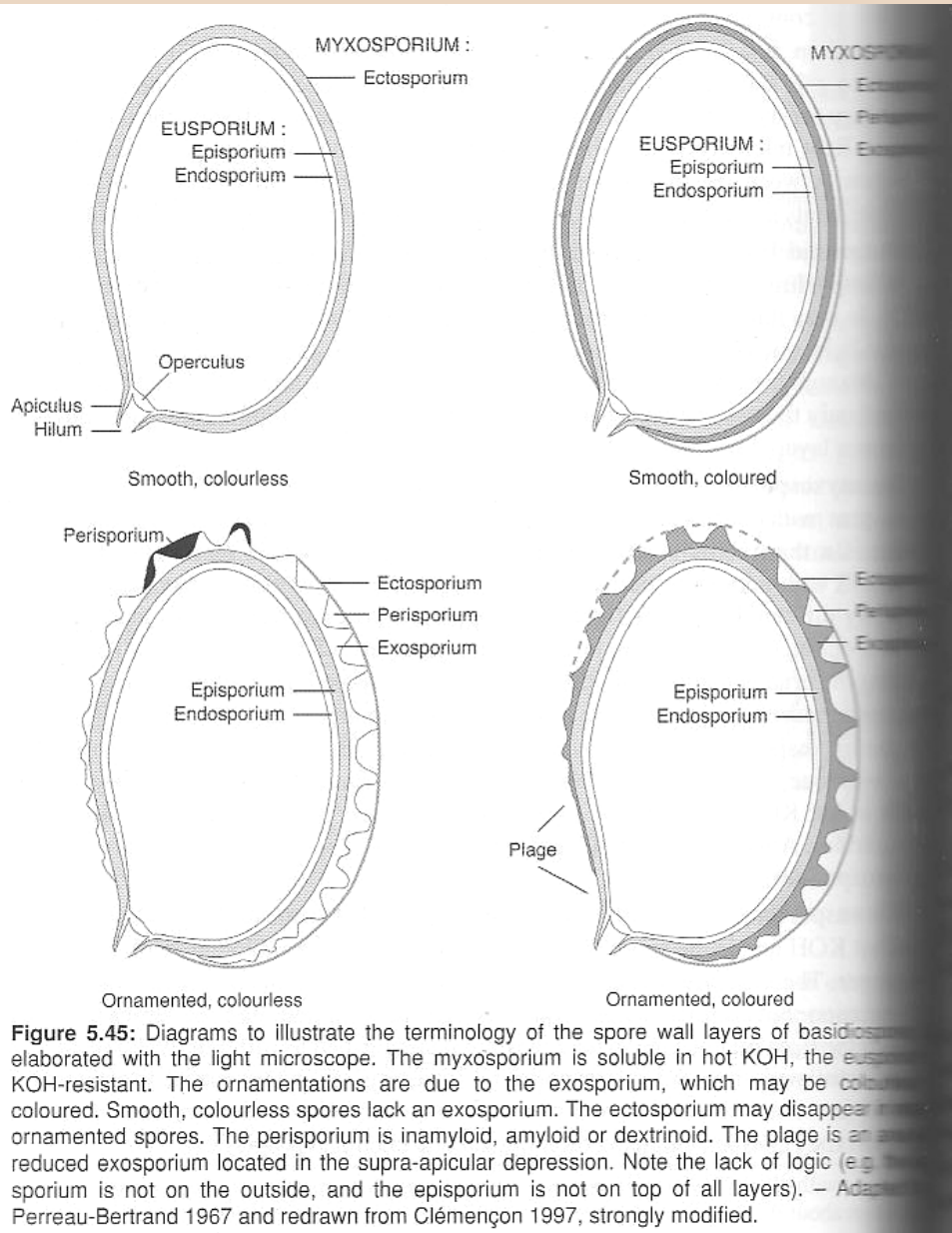


Figure 5.17: Nuclear behaviour in two-spored basidia, a choice of examples. – From Clément 1977.

Zvláštností některých tropických druhů je dimorfismus spor – tvorba dvou typů spor výrazně jiné velikosti na téže plodnici.

Heinz Cléménçon: Cytology and Plectology of the Hymenomycetes. Bibliotheca Mycologica, vol. 199. J. Cramer, Berlin-Stuttgart, 2004.



Stěna výtrusů je u různých druhů hladká nebo ornamentovaná, bezbarvá nebo zbarvená; skládá se z několika vrstev:

- vnitřní **eusporium** (vzniká z vnitřní vrstvy stěny apofýzy) je obvykle bezbarvé, dělí se na:
 - endosporium – zcela vnitřní vrstva stěny;
 - episporium – základ stěny spory, pevná a bezbarvá vrstva.

Jiné dělení eusporia (na základě elektronové mikroskopie): uvnitř průsvitné corium, vně tmavší coriotunika (u rodu *Entoloma* rozlišeno též epicorium – vnější vrstva pod myxosporiem, která se podílí na formování ornamentiky; obr. viz dále spolu s tunikou).

Figure 5.45: Diagrams to illustrate the terminology of the spore wall layers of basidiospores elaborated with the light microscope. The myxosporium is soluble in hot KOH, the eusporium is KOH-resistant. The ornamentations are due to the exosporium, which may be colourless or coloured. Smooth, colourless spores lack an exosporium. The ectosporium may disappear in some ornamented spores. The perisprium is inamyloid, amyloid or dextrinoid. The plage is an area of reduced exosporium located in the supra-apical depression. Note the lack of logic (e.g. the episporium is not on the outside, and the episporium is not on top of all layers). – Adapted from Perreau-Bertrand 1967 and redrawn from Cléménçon 1997, strongly modified.

Schizophyllum nebo *Mycena* tvoří tenkostěnné, hladké a bezbarvé spory bez eusporia – stěnu spory zůstává stěna apofýzy (protože ta je odlišná od stěn hyf, projeví se odlišnost ve stěně při klíčení hyfy, viz dále).

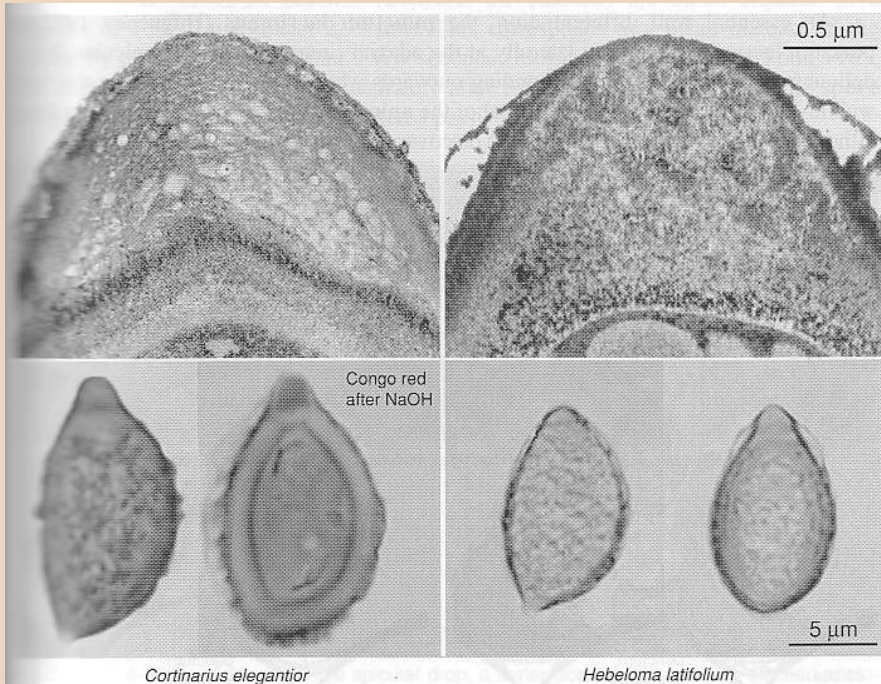


Figure 5.80: Examples of spores with an apical papilla. They are made from an expanded and very heterogeneous coriotunica covered with a very thin, but continuous epitunica. – Electron micrographs of permanganate-treated spores, from Clémengon 1997; light micrographs of fresh spores mounted in alkaline solution, one spore photographed in Congo red, after treatment with 10% NaOH for 4 hours. The papilla and the innermost layer of the coriotunica are stained dark red; the coriotunica is swollen. Original photographs.

Spory některých *Cortinariaceae* mají na vrcholu papilu – oblast ztlustlého eusporia (coriotuniky).

Clémengon: Cytology and Plectology ..., 2004

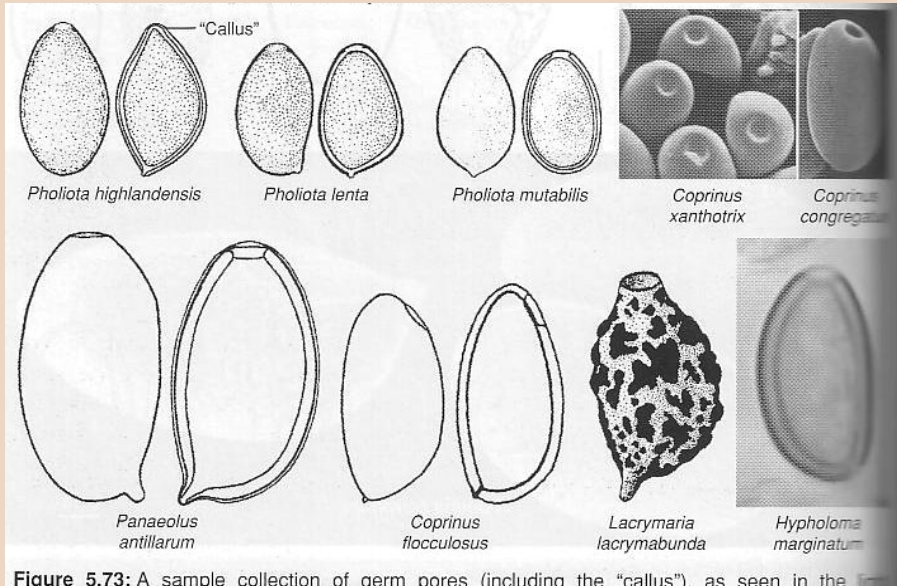
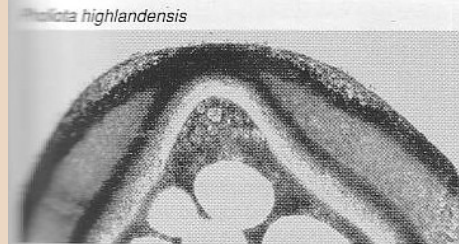


Figure 5.73: A sample collection of germ pores (including the "callus"), as seen in the light microscope. – Drawings from Meléndez-Howell 1967, Perreau-Bertrand 1967, Romagnesi 1945, Malençon & Bertault 1970. Scanning electron microscope pictures from Enderle & Moreno 1985, Moreno & Faus 1984. *Hypholoma* original photograph.

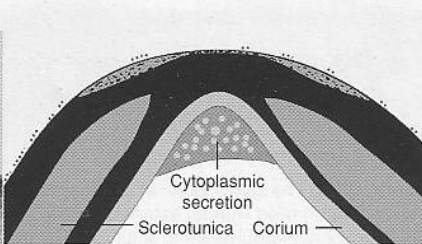
Tloustostěnné spory řady druhů mají na vrcholku založen klíční pór – "otvor" v episporiu, vyplněný strukturálně i chemicky odlišnou hmotou z endosporia tvořící "dřeň", "víčko" (z čel. *Strophariaceae*, *Coprinaceae*, *Bolbitiaceae*) nebo "zátku" (bedly aj. *Agaricaceae*). Malé klíční póry vznikají lokálním ztenčením eusporia.



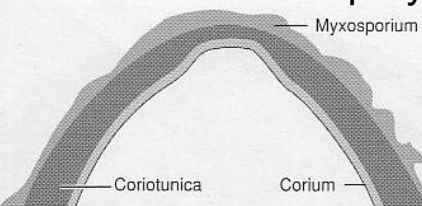
Pholiota highlandensis



Hebeloma radicosum

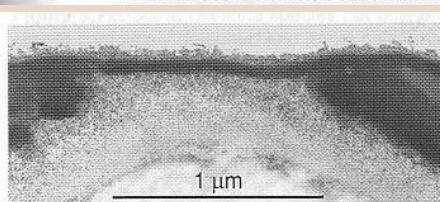


malé klíční pory



Myxosporium

Figure 5.74: The germ pores of *Pholiota highlandensis* and *Hebeloma radicosum* have been called "klíčnice" by Heim 1931, a term rejected by Kühner (1980) and in this book. – From Cléménçon 1997.



1 μm

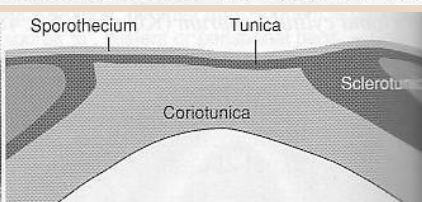
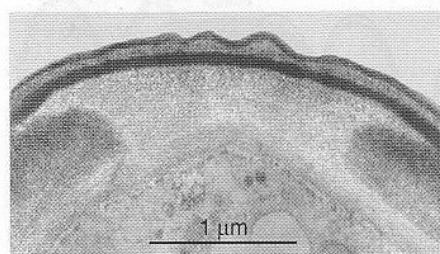
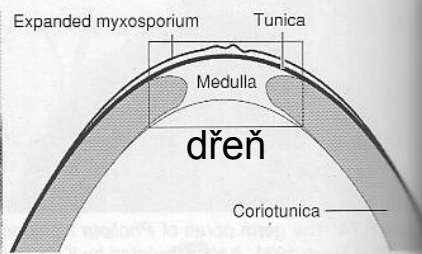


Figure 5.76: The germ pore of *Agrocybe semiorbicularis* is an interruption of the sclerotunica (myxosporium) filled with an extension of the coriotunica (eusporium) and topped with a thin layer of myxosporium equivalent to a tunica. The sporothecium covers the germ pore, and no differentiation can be seen within it. – From Cléménçon 1997.



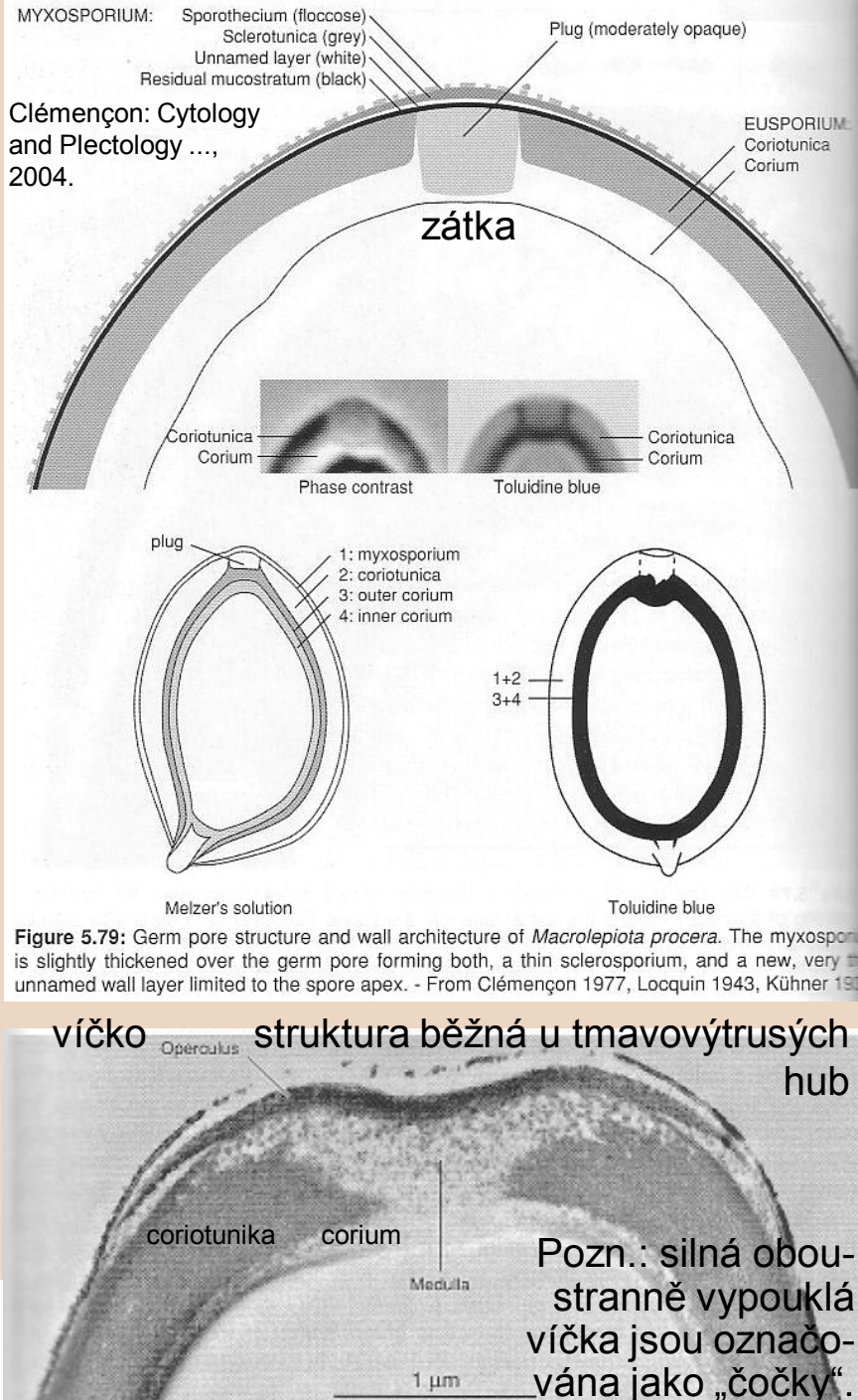
1 μm



dřen

Figure 5.77: The germ pore of *Coprinus truncorum* is an interruption of the coriotunica, filled with medulla derived from the corium that is restricted to the apical region of the spore. The myxosporium consists of a thin layer of residual mocostratum so dense that it is equivalent to a tunica. It is continuous over the germ pore. The sporothecium closely adheres to the tunica except in the apical region. There is no differentiation within the sporothecium. – From Cléménçon 1997.

Figure 5.78: The germ pore of *Coprinus lagopides* shows a well developed lid (operculus) consisting of a tunica limited to the apical region of the spore. The medulla is formed by granular deformation of the coriotunica. The corium is continuous under the germ pore. The sporothecium is detached from the operculus. The ectosporothecium and endosporothecium are clearly visible. At the inside it is lined by a spurious residual mocostratum. – From Cléménçon 1997, modified.



- vnější **myxosporium** (vzniká z vnější vrstvy stěny apofýzy) – zde se v průběhu dozrávání tvoří mechanicky odolné struktury + případná ornamentika; dělí se na:
 - exosporium – zprvu gelatinózní, posléze chrupavčitá a dosti odolná vrstva; zde se formuje ornamentika a zbarvení stěny;
 - perisporium – vnější vrstva zralých spor, gelatinózní a bezbarvá, často rozpraskaná;
 - ectosporium – zcela vnější tenká vrstva, za zralosti slizovatí a mizí.

Clémençon: Cytology and Plectology ..., 2004

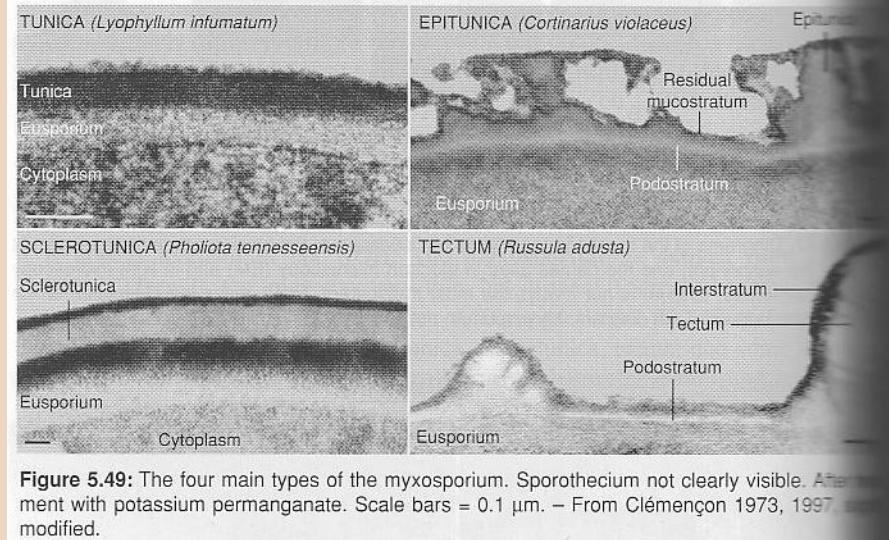
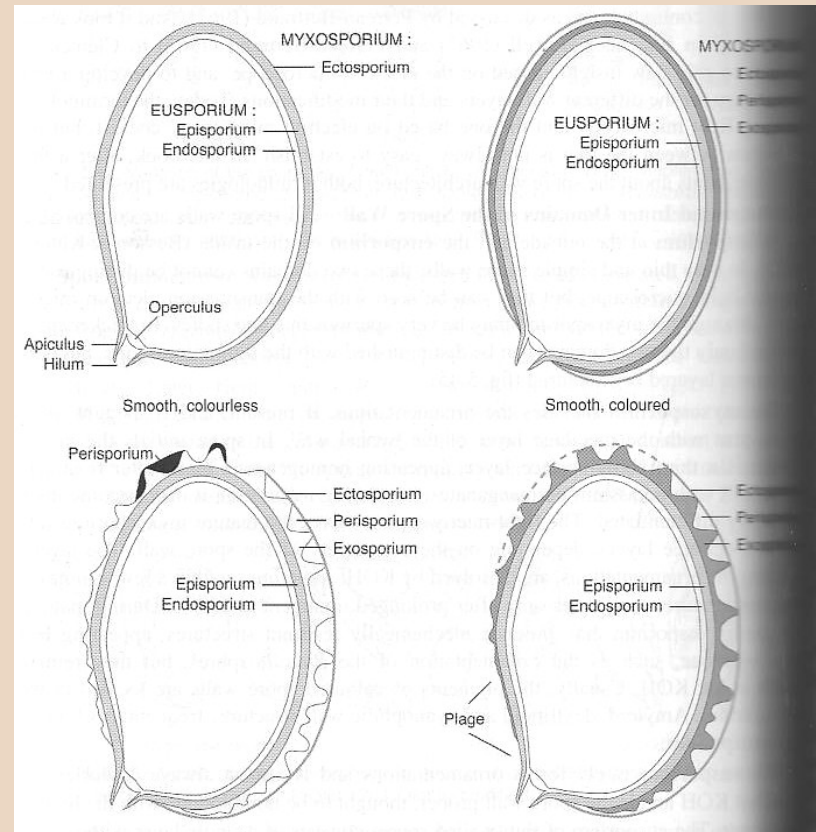


Figure 5.49: The four main types of the myxosporium. Sporothecium not clearly visible. After treatment with potassium permanganate. Scale bars = 0.1 µm. – From Clémençon 1973, 1997, modified.



Myxosporium se vytváří jako tzv. primární mukostratum => může zůstat jako měkká struktura (reziduální mukostratum), ale obvykle struktura tvrdne => mění se na (podle stoupající tvrdosti) tuniku, epituniku, sklerotuniku nebo tectum; případně báze myxosporia ztvrdne v podostratum, z nějž se vytváří ornamentika.

Entoloma bicolor

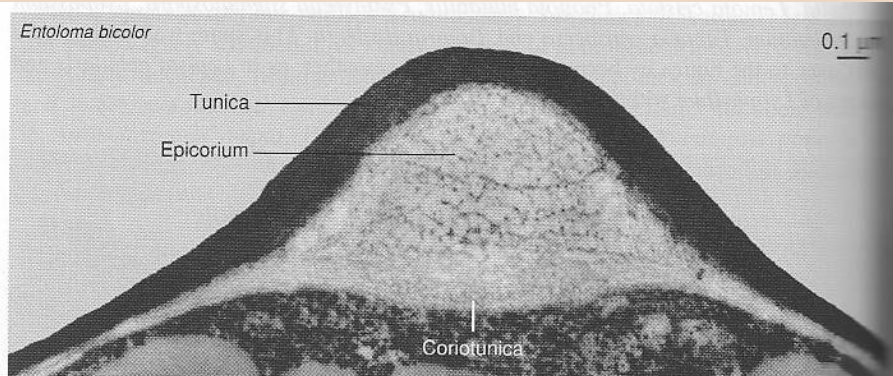


Figure 5.56 (Diagram 2b): Relation between the tunica and the granular myxosporium. The myxosporium becomes denser and smoother, and finally turns into a tunica. A new structure, the epicorium, arises between the coriotunica and the tunica. It takes the form of hemispherical pads, longitudinal ridges or a regular network of veins. – From Cléménçon 1970.

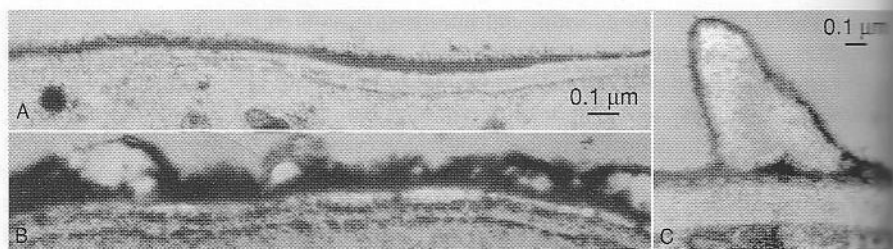


Figure 5.62 (Diagram 5): Development of the spore ornamentation of *Russula sardonia*. **A:** Young and still thin primary mocostratum, eusporium thin. **B:** Primary mocostratum well developed. Beginning of the formation of the electron-transparent podostratum and of the clods of the future tectum within the mocostratum. **C:** Mature spine and residual mocostratum. – From Cléménçon 1970.

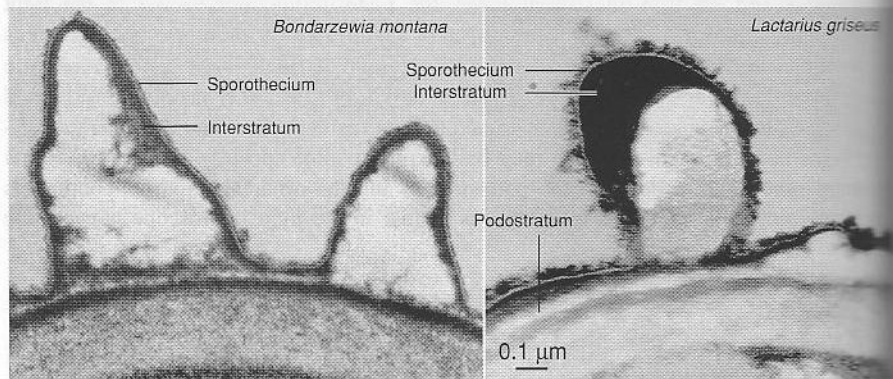


Figure 5.63 (Diagram 5): Mature spines, composed of clods of the tectum, bearing the amyloid interstratum covered with the sporothecium sharply differentiated into an endo- and an ectosporothecium. – From Keller 1974, Cléménçon 1970.

Pododerma lucidum

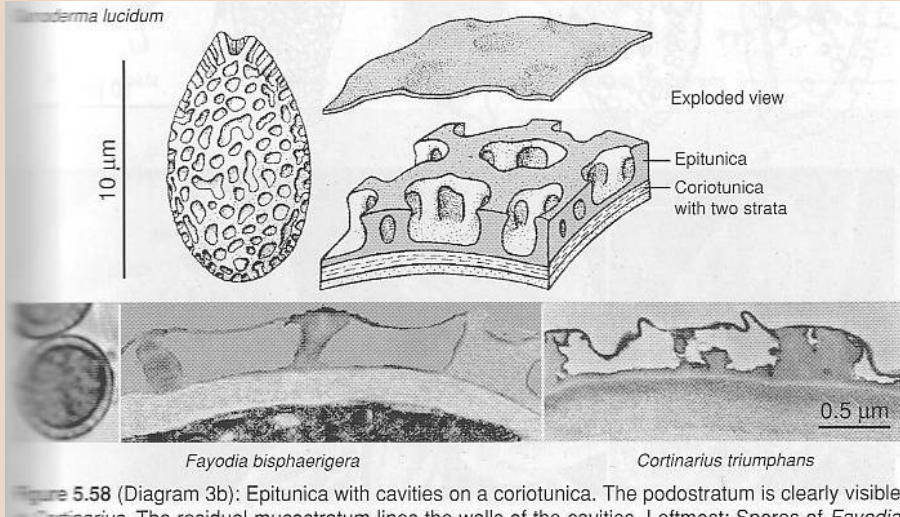


Figure 5.58 (Diagram 3b): Epitunica with cavities on a coriotunica. The podostratum is clearly visible in *Cortinarius*. The residual mocostratum lines the walls of the cavities. Leftmost: Spores of *Fayodia bisphaerigera* seen in the light microscope; diameter approximately 9 μm. – From Perreau 1973 (*Cortinarius*) and 1997; light microphotograph is original.

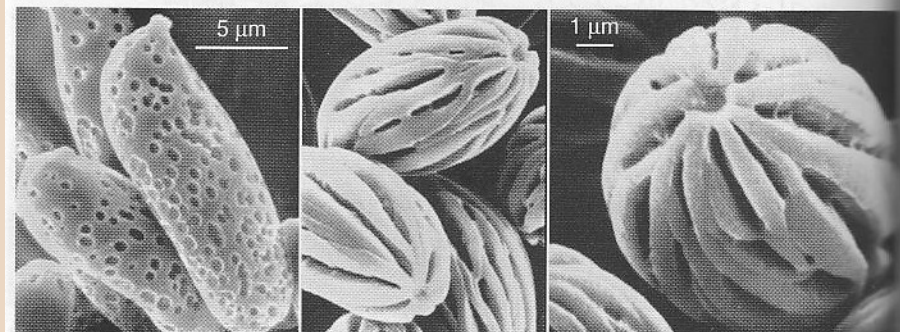
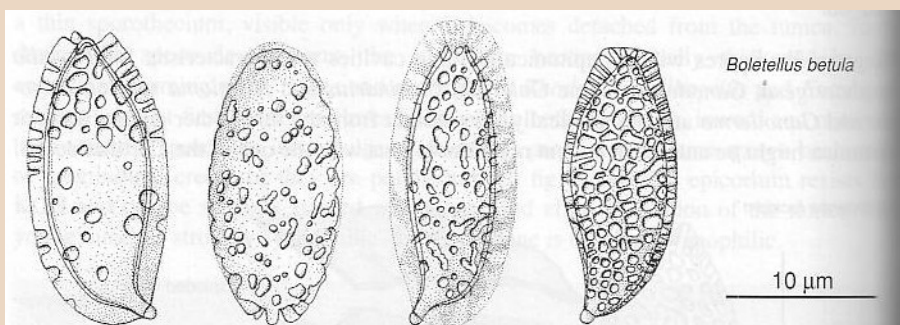


Figure 5.60 (Diagram 4b): Spores with a sculptured sclerotunica. The spore walls of both species are coloured. – Drawings from Perreau 1964; SEM photographs from Grand & Moore 1971.

Zvláštními modifikacemi myxosporia jsou expandující myxosporium (odděluje se od eusporia, vzniká "perisporiální vak") nebo "pláž" (oblast bez ornamentiky v supra-apikulární oblasti).

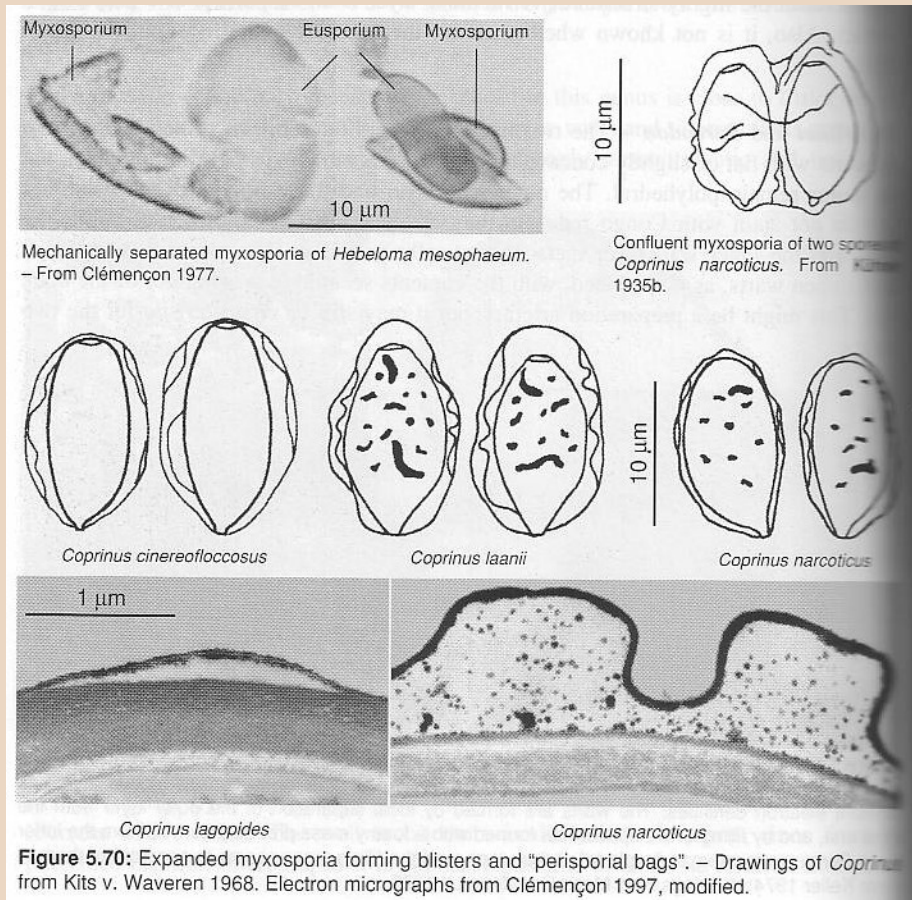


Figure 5.70: Expanded myxosporia forming blisters and "perisporial bags". – Drawings of *Coprinus* from Kits v. Waveren 1968. Electron micrographs from Clémençon 1997, modified.

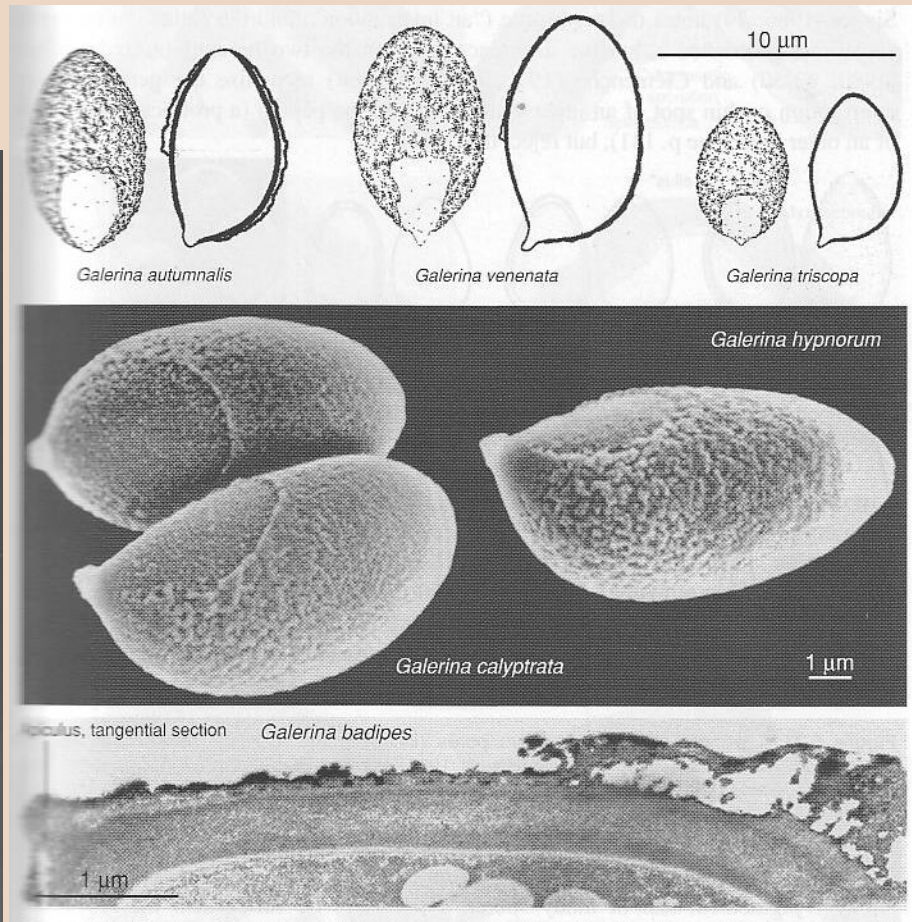
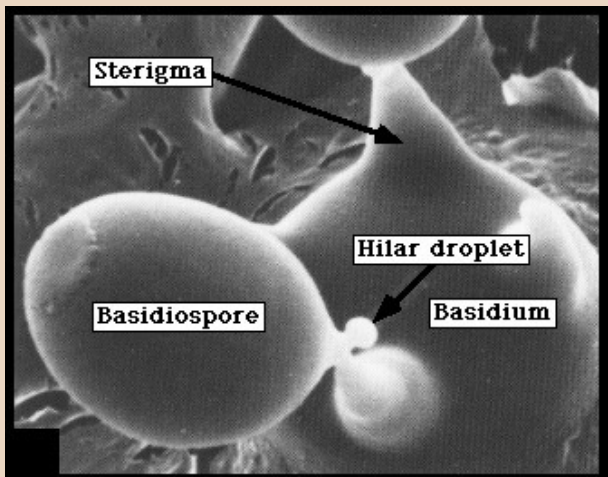


Figure 5.71: Spores with a plague in the supra-apical plain. The abrupt transition from the myxosporium of normal thickness to the plague becomes visible as a thin demarcation line in the light microscope. Please note that the plague is not completely devoid of a myxosporial ornamentation. – Drawings from Smith & Singer 1964; scanning electron micrographs from Gulden 1987; *Galerina badipes* from Clémençon 1997.

Typické pro **rouškaté houby** jsou aktivně odmršťované **ballistospory**.

Na stěně spory (v oblasti supra-apikulární deprese) se vytváří plochá kapka a zároveň zformovaná spora vylučuje kapku v místě, kde přirůstá na sterigma (je známa pod názvem hilární nebo Bullerova kapka – nejedná se o čistou vodu, ale hygroskopický roztok cukru a proteinů) ...



<http://tolweb.org/Basidiomycota/20520>; převzato z:

McLaughlin et al.: Ultrastructure and evolution of ballistosporic basidiospores. Bot. J. Linnean Soc. 91: 253-271, 1985.

Heinz Clemençon: Cytology and Plectogy of the Hymenomycetes. Bibliotheca Mycologica, vol. 199. J. Cramer, Berlin-Stuttgart, 2004.

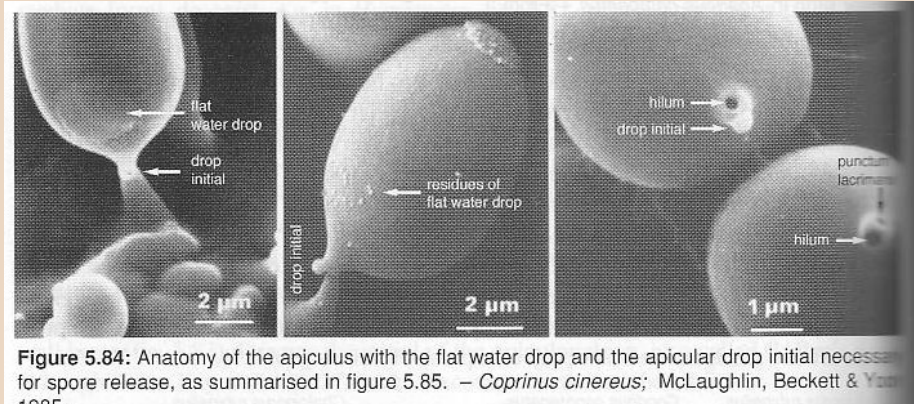


Figure 5.84: Anatomy of the apiculus with the flat water drop and the apicular drop initial necessary for spore release, as summarised in figure 5.85. – *Coprinus cinereus*; McLaughlin, Beckett & Yoon 1985.

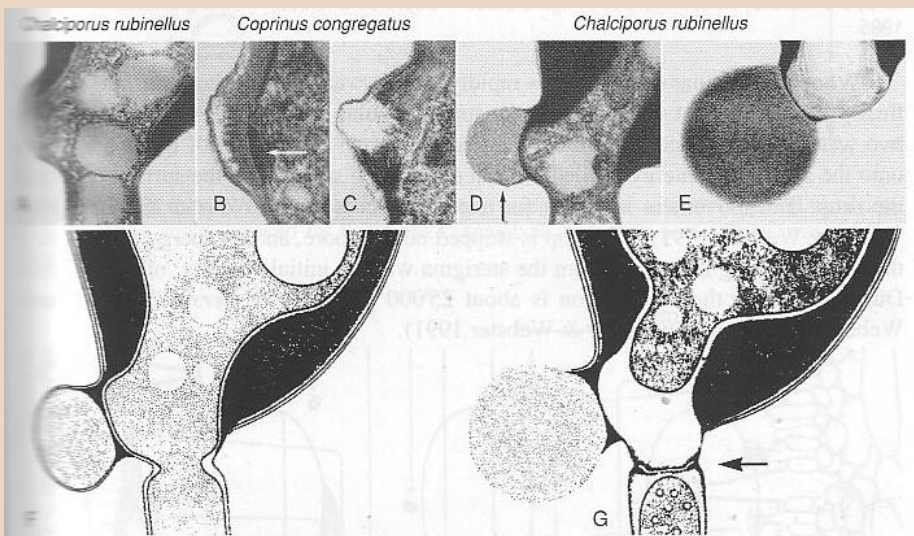


Figure 5.83: A-E: Development of the apical drop, a series constructed by using electron photomicrographs from two different fungi. The apical body (white arrow), appearing dense and black, is thought to initiate the formation of the apical drop. Note that the drop is surrounded by a thin wall layer partly visible in D (vertical black arrow) that later disappears (E). The drop is a strong, hygroscopic solution that is preserved by cytological fixation. F,G: Diagrammatic drawings of the young (F) and mature (G) drop initial of *Chalciporus rubinellus*. In F the drop initial is still surrounded by a wall layer, in E it is naked and ready to expand rapidly. A plug is formed in the apiculus and in the sterigma; they are separated by a dehiscence zone (horizontal black arrow). – *Chalciporus* from Yoon & McLaughlin 1979, 1986; *Coprinus* from Hugueney 1978.

=> současně v oblasti apikulu centripetálně vroste přepážka mezi sporu a sterigma a v téžem místě se zeslabí stěna (u tenkostěnných spor se stěna prostě zborgí, u tlustostěnných vzniká pod vlastní přepážkou "zátka", případně ještě bazální čepička)

=> Bullerova kapka postupně narůstá, ale ve finále rychle nasaje vlhkost z prostředí (příklad: pětinásobné zvětšení během 5–30 sekund)

=> zvětšená kapka dosáhne kontaktu s plochou kapkou na stěně spory a dojde k jejich rychlému splynutí

=> prudká změna těžiště odtrhne a "odstřelí" sporu od sterigmatu v místě přepážky, kde zbyde "jizva" – **hilum**

(energii dodá též uvolnění povrchového napětí při splynutí kapek)
=> osiřelá bazidie se následně "bortí".

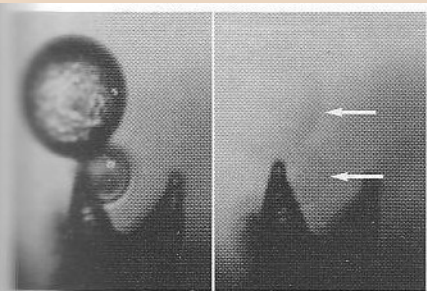


Figure 5.86: Basidiospore discharge. Photographs of a basidiospore one second before discharge and during discharge. The right photograph shows the ghost image of the spore and its apical drop (arrows), because discharge occurred whilst the camera shutter was open (for 60 ms). *Oudemansiella mudica*. – From Webster & Chien 1990.

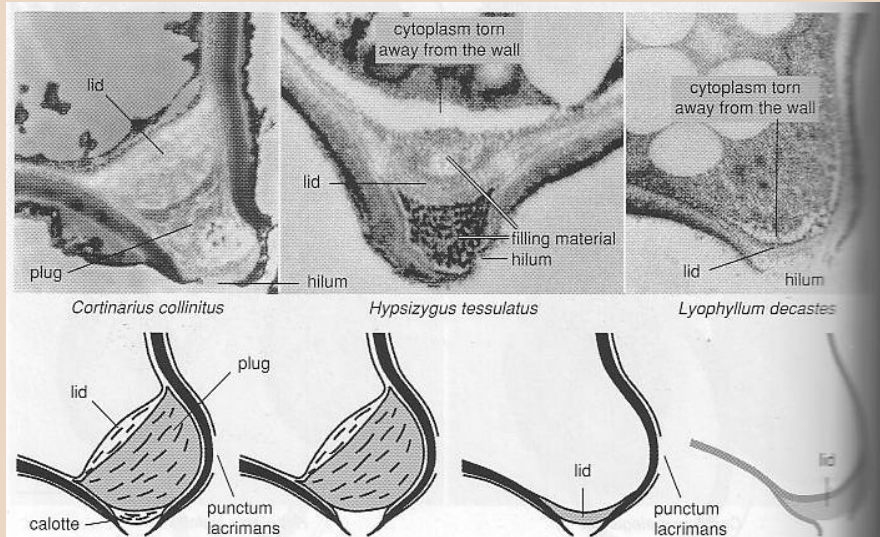


Figure 5.81: Different structures of the apiculus of thick- and thin-walled spores. In the electron micrographs, the hilum is visible, but the punctum lacrimans is not (out of the plane of the section). In thick-walled spores the innermost wall layer is formed last. It lines the apiculus wall and forms the lid. In thin-walled spores the lid is strongly reduced. The calotte below the plug is often missing. In some spores, e.g. in *Hypsizygus tessulatus*, a cytoplasmic filling material similar to the one found in the callus accumulates between the lid and the cytoplasm, and a parietal filling material accumulates temporarily in the hilum. – From Cléménçon 1997; *Hypsizygus* original.

Cléménçon: Cytology and Plectology of the Hymenomycetes.

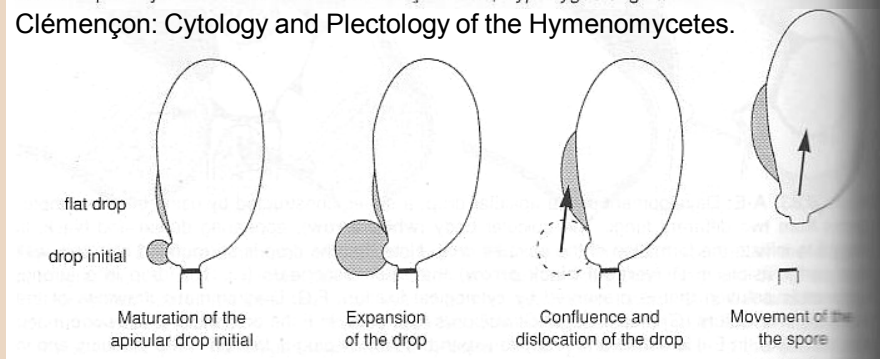


Figure 5.85: Mechanism of spore release of the Hymenomycetes. The spore jumps from the sterigma, it is not projected passively like a stone. – From Cléménçon 1997.

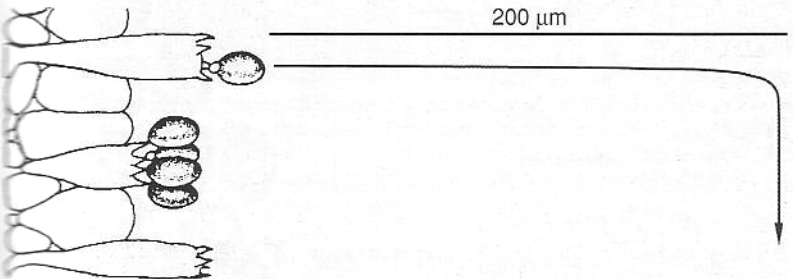


Figure 5.87: Sporabola of *Coprinus sterquilinus*. The basidia, spores, apicular drop and flight path all drawn to scale. Inspired by Buller 1924, sporabola based on new calculations. – From Clémençon 1997.

Heinz Clémençon: Cytology and Plectology of the Hymenomycetes, 2004.

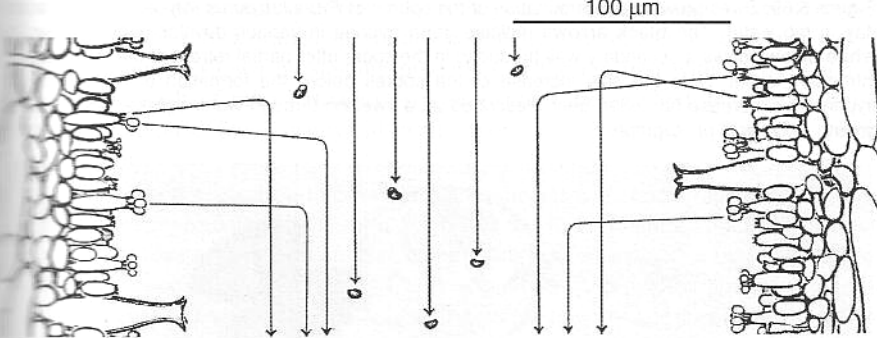


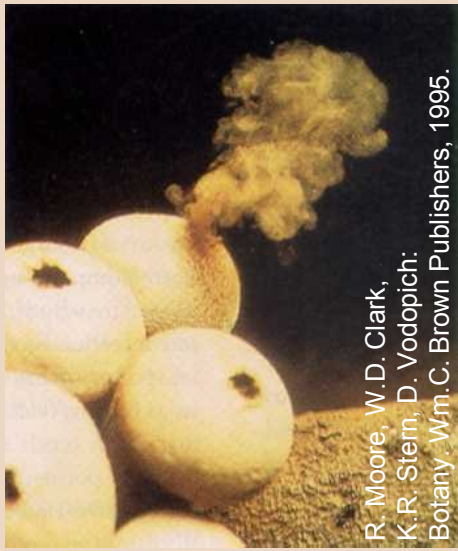
Figure 5.88: Spore discharge between two gills of *Pluteus cervinus*. The initial flight direction is not always exactly horizontal. The spores sedimenting from above did not jump farther, but they stem from a region of the gills where the distance between the hymenia is smaller than the one shown in the drawing, because of the wedge-shape of the gills. All elements drawn to scale by Buller 1924.

Balistická dráha vystřelené spory je označována termínem sporabola; na rozdíl od "extrémních výkonů" spor vřeckatých hub jsou zde spory vystřelovány na vzdálenost v řádu desetin milimetru (max. 1,5 mm) a "dostřel" u různých druhů obvykle je v přímé úměře ke vzdálenosti sousedních lupenů (nebo ostnů, průměru pór aj.) – jde o to, aby spory úspěšně vypadly z hymenoforu, málokdy se uchytí na protějším lupenu (ostnu, stěně póru aj.).

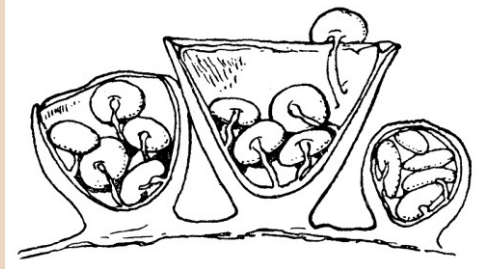
Podobné vystřelování je známo i u některých konidií (například u *Tremellales*) – tzv. balistokonidie.

Dozrávání spor probíhá u lupenatých hub víceméně současně (izotropické hymenium) nebo postupně – na jednom lupenu mohou být spory v různých fázích vývoje (formující se bazidie, zralé spory i zborcené bazidie po oddělení spor – anizotropické hymenium, viz kapitolu *Plodnice hub*).

Faktory, které ovlivňují uvolňování výtrusů z plodnice, jsou na jedné straně genetické faktory a biologický rytmus houby a na straně druhé vliv klimatických podmínek (vlhkost, teplota, vítr).



[http://commons.wikimedia.org/wiki/
File:Crucibulum_laeve_drawing.jpg](http://commons.wikimedia.org/wiki/File:Crucibulum_laeve_drawing.jpg)



Břichatky nemají balistospory; spory jsou uzavřeny v plodnici a uvolňují se za zralosti otvorem – peristomem. Jejich uvolňování může napomáhat déšť nebo nárazy vátého písku na plodnici => dojde ke stlačení plodnice a vyfouknutí spor.

Foto Paľo °; [http://www.nahuby.sk/
obrazok_detail.php?obrazok_id=143712](http://www.nahuby.sk/obrazok_detail.php?obrazok_id=143712)

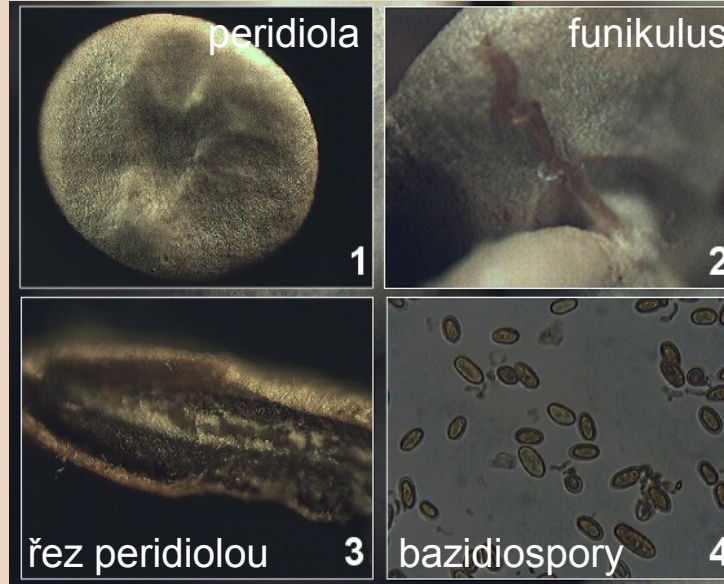
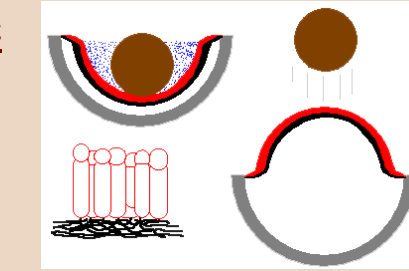


Foto: Paľo °; [http://www.nahuby.sk/
obrazok_detail.php?obrazok_id=143694](http://www.nahuby.sk/obrazok_detail.php?obrazok_id=143694)

Číšenky a pohárovky mají pohárkovité plodnice, kryté

v mládí tenkou blankou – epifragmou (v průběhu dozrávání se roztrhá podobně jako plachetky rouškatých hub). Uvnitř nalezneme drobné peridioly ("plodničky" obsahující spory), přichycené na dně pohárku vláknem – funikulem => dopadem dešťové kapky je peridiola vymrštěna ven a funikulem se uchytí na trávě => čeká až ji sežere býložravec => teprve po průchodu jeho trávicím traktem spory klíčí.

Speciální vymršťování má **hrachovec** (*Sphaerobolus*): peridiola je uložena v "kalíšku", jehož vrstvy tvoří vnitřní a vnější okrovka – v buňkách jedné z vrstev vnější okrovky probíhá hydrolýza glykogenu na glukózu => vysoká koncentrace glukózy => způsobí osmotický tlak => pro jeho vyrovnání buňky prudce nasávají vodu => vrstvička nabobtná a vytlačí vzhůru vnitřní okrovku, která tak "vystřelí" peridiolu (až na vzdálenost 4 metrů!).



Sphaerobolus stellatus

Kresba: <http://www.anbg.gov.au/fungi/birds-nest-cannonball.html>



Foto: L. Hagara, V. Antonín, J. Baier: Houby. Aventinum, Praha, 1999.

Uvolňování spor napomáhá i když některé části plodnic hygroskopicky nabobtnají – např. pohyby vláken (elater)

v okrovce *Battarrea* – nebo když dojde za sucha ke svinutí cípu vnější okrovky => vytlačení spor u hvězdáku (*Astraeus*).

Množství spor vyprodukovaných jednou plodnicí je různé od řádu miliónů u malých plodnic po 10^{15} (7×10^{15} spor v teřichu *Langermannia gigantea*, srovnatelné množství je $5,5 \times 10^{15}$ z rouškaté plodnice *Ganoderma lipsiense* během 6 měsíců).



Foto Jiří Polčák, http://www.nahuby.sk/obrazok_detail.php?obrazok_id=95937